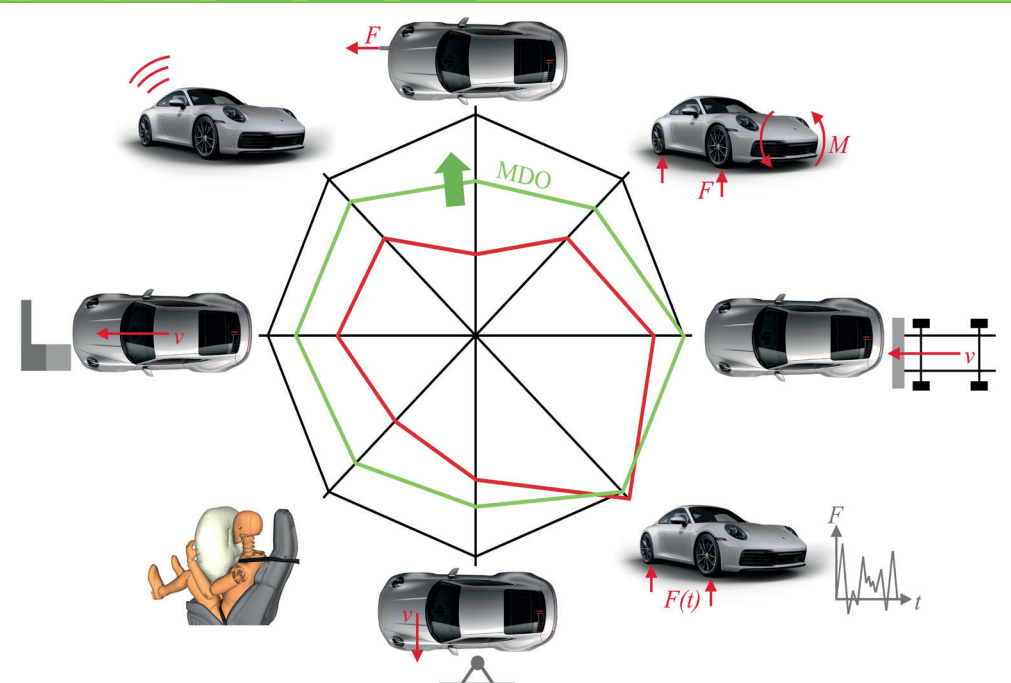
Effiziente Lösungsansätze zur Reduktion des numerischen Ressourcenbedarfs für den operativen Einsatz der Multidisziplinären Optimierung von Fahrzeugstrukturen

Bergische Universität Wuppertal Lehrstuhl für Optimierung mechanischer Strukturen

Jana Büttner



### Effiziente Lösungsansätze zur Reduktion des numerischen Ressourcenbedarfs für den operativen Einsatz der Multidisziplinären Optimierung von Fahrzeugstrukturen

# Dissertation zur Erlangung eines Doktorgrades

in der Fakultät für Maschinenbau und Sicherheitstechnik der Bergischen Universität Wuppertal



vorgelegt von **Jana Büttner**aus Buchholz i. d. Nordheide

Wuppertal 2022

Tag der mündlichen Prüfung: 31.01.2022

### Berichte aus dem Maschinenbau

### Jana Büttner

Effiziente Lösungsansätze zur Reduktion des numerischen Ressourcenbedarfs für den operativen Einsatz der Multidisziplinären Optimierung von Fahrzeugstrukturen

Shaker Verlag Düren 2022

### Bibliografische Information der Deutschen Nationalbibliothek

Die Deutsche Nationalbibliothek verzeichnet diese Publikation in der Deutschen Nationalbibliografie; detaillierte bibliografische Daten sind im Internet über http://dnb.d-nb.de abrufbar.

Zugl.: Wuppertal, Univ., Diss., 2022

Copyright Shaker Verlag 2022

Alle Rechte, auch das des auszugsweisen Nachdruckes, der auszugsweisen oder vollständigen Wiedergabe, der Speicherung in Datenverarbeitungsanlagen und der Übersetzung, vorbehalten.

Printed in Germany.

ISBN 978-3-8440-8560-0 ISSN 0945-0874

Shaker Verlag GmbH • Am Langen Graben 15a • 52353 Düren Telefon: 02421/99 0 11 - 0 • Telefax: 02421/99 0 11 - 9

Internet: www.shaker.de • E-Mail: info@shaker.de

#### Jana Büttner

## Effiziente Lösungsansätze zur Reduktion des numerischen Ressourcenbedarfs für den operativen Einsatz der Multidisziplinären Optimierung von Fahrzeugstrukturen

Dissertation, Bergische Universität Wuppertal, Fakultät für Maschinenbau und Sicherheitstechnik, Lehrstuhl für Optimierung mechanischer Strukturen, Oktober 2021

### Kurzfassung

Im Fahrzeugentwicklungsprozess arbeitet eine Vielzahl von CAE-Fachbereichen teilweise parallel, aber auch sequentiell an der strukturellen Auslegung eines Fahrzeugs. Dabei können sie nicht uneingeschränkt losgelöst voneinander Entwurfsentscheidungen treffen, da diese nicht nur Auswirkung auf die Anforderungen ihrer eigenen zu verantwortenden Disziplin (z.B. Crash, Steifigkeit und Betriebsfestigkeit) haben können. Ein Werkzeug, diese Komplexität und interdisziplinäre Interaktion zu erfassen und gezielt und automatisiert (algorithmenbasiert) nach Entwürfen zu suchen, die allen disziplinspezifischen und -übergreifenden Anforderungen genügen, ist die Multidisziplinäre Optimierung (MDO). Die Lösung ist ein bestmöglicher Kompromiss und damit gesamtfahrzeug- und nicht disziplinorientiert. Die MDO fördert die Entwicklungsqualität und -geschwindigkeit, fordert jedoch für den operativen Einsatz eine Vorgehensweise zur effizienten Nutzung von CPU-Ressourcen und zur zielgerichteten Einbindung aller für eine Fragestellung relevanten Disziplinen und damit Fachbereiche.

In dieser Dissertation werden verschiedene Strategien diskutiert, welche die für die Umsetzung genannten Erfordernisse bedienen. Diese Strategien lassen sich in folgende Schwerpunkte gruppieren: Die Wahl effizienter Optimierungsalgorithmen und -strategien, die Auswahl relevanter Lastfälle und sensitiver Entwurfsvariablen als auch die Reduktion der Finite-Elemente-Rechenzeiten von rechenaufwändigen Crashanalysen (FE-Submodelle). Für all diese Schwerpunkte wird eine Best Practice bestehender Lösungsvorschläge und Methoden ausgearbeitet bzw. teilweise neue Ansätze etabliert. Durch die geschickte Assemblierung dieser Erarbeitungen wird ein neuartiger, adaptiv steuerbarer und auf Approximationsmodellen basierender MDO-Prozess entwickelt. Die Besonderheit des Prozesses zeigt sich vor allem in den folgenden drei Punkten: Erstens reduziert der Baustein Adaptive Komplexitätskontrolle sukzessive die Komplexität und Dimensionalität des Optimierungsproblems. Zweitens kann mithilfe eines implementierten lokalen, heuristischen und damit auf allen Approximationsmodelltypen berechenbaren Vorhersageunsicherheitsmaßes die Prognosegüte (Abweichung Prognose zu Finite-Elemente-Wert) abgeschätzt und in der Optimierung genutzt werden. Drittens unterstützt die globale Sensitivitätsmatrix bei der Koordination aller Disziplinen und hilft damit bei der Planung und Durchführung einer MDO.

Alle Untersuchungen werden anhand eines komplexen Gesamtfahrzeugbeispiels durchgeführt und der Standardvorgehensweise einer MDO gegenübergestellt. Es wird gezeigt, dass die erarbeitete effiziente Vorgehensweise nicht nur eine erhebliche Reduktion des Ressourcenbedarfs, sondern auch eine signifikante Verbesserung der Ergebnisqualität im Vergleich zur Standardvorgehensweise ermöglicht.

**Stichworte:** Multidisziplinäre Optimierung (MDO), Approximationsmodelle, globale Sensitivitätsmatrix, Finite-Elemente-Submodelle

#### Jana Büttner

### Reduction of the numerical resource requirement for the operational use of multidisciplinary optimization of vehicle structures

Dissertation, University of Wuppertal, School of Mechanical Engineering and Safety Engineering, Chair of Optimization of Mechanical Structure, October 2021

#### Abstract

In the vehicle development process, many CAE departments work in parallel but also sequentially on the structural design of a vehicle. They cannot make design decisions independently of each other without restrictions, as their decisions may not only affect the requirements of their own responsible discipline (e.g. crash, stiffness and durability). Multidisciplinary Optimization (MDO) is a tool to capture this complexity and interdisciplinary interaction. It searches for designs that meet all discipline-specific and cross-discipline requirements in a targeted and automated (algorithm-based) way. The outcome is a best possible compromise and thus full vehicle- rather than discipline-oriented. MDO promotes development quality and speed. However for operational use, it requires an approach for an efficient use of CPU resources and for a targeted integration of all disciplines and thus departments relevant to the specific problem.

This Dissertation discusses different strategies that serve the needs mentioned for operational use. These strategies can be grouped into the following areas: the choice of efficient optimization algorithms and strategies, the selection of relevant load cases and sensitive design variables as well as the reduction of the finite-element calculation times of computationally intensive crash analyses (FE-submodels). For all these focal points, a best practice of existing solution proposals and methods is elaborated, and in some cases new approaches are established. By assembling these elaborations in a clever way, a novel, adaptively controllable MDO process based on approximation models is developed. The three following features make this process special: First, a module called *adaptive complexity control* gradually reduces the complexity and dimensionality of the optimization problem. Second, with the help of an implemented local, heuristic and thus on all approximation model types computable prediction uncertainty measure, the prediction quality (deviation prediction to finite-element value) can be estimated and used in the optimization. Third, the global sensitivity matrix supports the coordination of all disciplines and thus helps planning and executing a MDO.

All investigations are carried out based on a complex full vehicle example and compared with the standard procedure of a MDO. It is shown that the developed efficient approach not only causes a significant reduction in numerical resource requirements but also a significant improvement in the quality of results compared to the standard approach.

**Keywords:** Multidisciplinary Optimization (MDO), approximation models, global sensitivity matrix, finite-element submodels

### Vorwort und Danksagung

Die vorliegende Dissertation entstand während meiner Tätigkeit als Berechnungsingenieurin bei der *Dr. Ing. h.c. F. Porsche AG* in Kooperation mit dem *Lehrstuhl für Optimierung mechanischer Strukturen* der *Bergischen Universität Wuppertal.* Ich möchte an dieser Stelle allen Personen danken, die mich während meiner Zeit als Doktorandin unterstützt und ermutigt haben.

Mein besonderer Dank gilt meinem Doktorvater Herrn Prof. Dr. Axel Schumacher für die hervorragende Betreuung: Deine fachlichen Anregungen, kritischen Fragen und unsere stundenlangen Diskussionen haben diese Arbeit entscheidend geprägt. Außerdem danke ich dir für dein mir entgegengebrachtes Vertrauen.

Herrn Prof. Dr. Thomas Bäck danke ich recht herzlich für die Übernahme des Zweitgutachtens, seine wertvollen Ideen und sein förderndes wissenschaftliches Interesse an meiner Arbeit.

Des Weiteren danke ich der *Dr. Ing. h.c. F. Porsche AG* für die Bereitstellung der nötigen Ressourcen und allen Kolleginnen und Kollegen für die angenehme Zeit und die allzeit entgegengebrachte Hilfsbereitschaft. Ich möchte Herrn Frank Sautter, Herrn Dennis Gevers, Herrn Robert Reilink und Herrn Dr. Stefan Schwarz hierbei hervorheben, die die Durchführung der Dissertation überhaupt erst ermöglicht haben. Herrn Stefan Schwarz gebührt dabei mein besonderer Dank: Danke für die fachliche Betreuung der Arbeit. Vor allem möchte ich dir aber für dein Vertrauen in mich und für alle ermutigenden Worte danken. Ohne deine fachliche und mentale Unterstützung wäre diese Arbeit nicht möglich gewesen.

Ein besonderer Dank gebührt ebenso Herrn Dr. Peter Krause für seine stetige fachliche Unterstützung im Bereich der Metamodellierung und allen weiteren Kolleginnen und Kollegen der divis intelligent solutions GmbH für die zügigen Implementierungen in die Software ClearVu Analytics. Im Bereich der Metamodellierung danke ich auch Herrn Dr. Josef Dubsky für seine wertvollen Ideen. Des Weiteren möchte ich gerne meinen Kollegen von der Submodell-Arbeitsgemeinschaft Herrn Lukas Rafalski (Dr. Ing. h.c. F. Porsche AG), Herrn Dr. Christopher Ortmann, Herrn Florian Koch (Volkswagen AG) und Herrn Sven Wielens (Bergische Universität Wuppertal) und allen beteiligten Studenten danken, die das Thema Submodellierung maßgebend vorangetrieben haben. Außerdem bedanke ich mich bei Herrn Dr. Steffen Mattern und Herrn Dr. Christoph Schmied von der Firma DYNAmore, die mir bei LS-DYNA immer mit Rat und Tat zur Seite standen. Auch allen Studenten, die mich in Form von praktischen Tätigkeiten und Abschlussarbeiten unterstützt haben, danke ich sehr. Insbesondere möchte ich hierbei Lukas Rafalski, Arne Müller, Markus Husert, Armagan Can Yildiz und Zeidoun El Khatib danken.

Bei allen Kolleginnen und Kollegen der Doktorandenrunde möchte ich mich für die angeregten Diskussionen und die schönen Abende in Wuppertal bedanken. Ganz besonders möchte ich Herrn David Kracker danken: Gemeinsam haben wir so manche Höhen und Tiefen überstanden. Danke.

Zuletzt danke ich vom ganzen Herzen meinen Eltern und meinem Bruder, die mich in jeder Lebenslage unterstützen und somit ein unverzichtbarer Rückhalt sind. Mein besonderer Dank gebührt auch Holger: Ohne dein Verständnis und deine Geduld wäre diese Arbeit niemals möglich gewesen. Danke, dass du immer an mich glaubst.

Calw, im März 2022 Jana Büttner

### Inhaltsverzeichnis

A	bkürz	zung	s- und Symbolverzeichnis	IV
1	Eir	nleit	ung	1
	1.1	Mo	tivation und Problemstellung	1
	1.2	Zie	lsetzung	2
	1.3	Gli	ederung	3
2	Gr	rund	lagen der Strukturanalyse	5
	2.1	Grı	ındprinzip der Finite-Elemente-Methode	5
	2.2	An	alysebeispiele aus der Fahrzeugentwicklung	7
	2.3	Au	fstellung und Lösung verschiedener strukturmechanischer Probleme	9
	2.3	3.1	Linear statische Analyse	9
	2.3	3.2	Nichtlinear statische Analyse	9
	2.3	3.3	Nichtlinear dynamische Analyse	11
	2.3	3.4	Frequenzanalyse	13
3	Vo	orste	llung des Gesamtfahrzeugbeispiels	15
	3.1	Fal	nrzeug und Entwurfsvariablen	16
	3.2	Las	stfälle und Anforderungen aus dem Lastenheft	16
	3.2	2.1	Highspeed-Frontcrashlastfall, volle Überdeckung, starre Barriere (Front FN)	18
	3.2	2.2	Highspeed-Frontcrashlastfall, teilweise Überdeckung, deformierbare Barriere (Front ODB)	21
	3.2	2.3	Highspeed-Seitencrashlastfall Pfahl (Seite P90)	22
	3.2	2.4	Highspeed-Heckcrashlastfall, teilweise Überdeckung, deformierbare Barriere (Heck ODB)	23
	3.2	2.5	Dachdrücklastfall (Dach Drück)	25
	3.2	2.6	Steifigkeit	26
	3.3	An	forderungsgrenzen	27
4	Re	eduk	tion der Finiten-Elemente-Berechnungszeit	29
	4.1	Stra	ategien zur Reduktion der Finiten-Elemente-Berechnungszeit	30
	4.2	Stra	ategien zur Selektion wichtiger Bauteile	35
	4.3	Vo	rauswahl und Vorstellung der betrachteten Finiten-Elemente-Submodelle	37
	4.4	Bev	wertungsschema	40
	4.5	Erg	ebnisse	42
	4.6	Too	ol zur Finiten-Elemente-Submodellerstellung	47

5	G	rund	lagen der Strukturoptimierung	49
	5.1	Grı	undprinzip der Optimierung und Begriffsdefinitionen	49
	5.2	Art	en der Strukturoptimierung	54
	5.3	Op	timierungsverfahren	55
	5.4	Op	timierungsprozessketten	59
6	M	letam	nodellbasierte Strukturoptimierung	61
	6.1	He	rausforderungen	62
	6.2	Ko	nventionelle metamodellbasierte Strukturoptimierung	63
	6.	2.1	Versuchsplan	63
	6.	2.2	Approximationen	65
	6.	2.3	Optimierung	76
	6.3	Ko	nfidenzimplementierung und Nutzung in der Optimierung	79
	6.4	We	iterführende Strategien	89
	6.	4.1	Setzen neuer Stützstellen	89
	6.	4.2	Auswahl sensitiver Entwurfsvariablen	94
7	G	lobal	e Sensitivitätsmatrix	103
	7.1	Grı	ındgedanke und Dekomposition multidisziplinärer Fragestellungen	103
	7.2	Nu	tzen für die tägliche Interaktion verschiedener Disziplinen	108
	7.3	Nu	tzen für die Planung einer MDO	111
	7.	3.1	Single-Level- vs. Multi-Level-Optimierungsmethoden	112
	7.	3.2	Single-System- vs. Multi-System-Vorgehensweise	117
8	Ei	ffizie	nter Multidisziplinärer Optimierungsprozess	121
	8.1	Pro	zessbeschreibung und Setup	121
	8.2	Erg	gebnisse	129
	8.	2.1	Variante SiS unter Einhaltung von Anforderungspaket 2	132
	8.	2.2	Variante SiS_min unter Einhaltung von Anforderungspaket 2	139
	8.	2.3	Variante MuS_min unter Einhaltung von Anforderungspaket 2	145
	8.	2.4	Variante SiS_min_SUB unter Einhaltung von Anforderungspaket 2	155
	8.	2.5	Verwendbarkeit der Approximationsmodelle bei Anforderungsänderungen (Anforderungspaket 1)	164
	8.3	Ge	genüberstellung und Zusammenfassung aller Ergebnisse	166
9	Zı	usam	menfassung	173
1(	) A	usbli	ck	177
L	itera	turve	erzeichnis	183

### Anhang

Anhang A: Gesamtfahrzeugbeispiel 191			
Anhan	g B: Finite-Elemente-Submodelle	192	
B.1	Darstellung der FE-Submodelle	192	
B.2	Ausführung und Ausgaben des Bewertungstools	193	
B.3	Zusätzliche Ergebnisauswertung der FE-Submodelle	197	
Anhang C: Metamodellbasierte Strukturoptimierung 19			
Anhan	g D: Globale Sensitivitätsmatrix	200	
Anhan	g E: Zusätzliche Ergebnisauswertung, effizienter Optimierungsprozess	201	
E.1	Variante SiS (Anforderungspaket 2)	201	
E.2	Variante SiS_min (Anforderungspaket 2)	209	
E.3	Variante MuS_min (Anforderungspaket 2)	217	
E.4	Variante SiS_min_SUB (Anforderungspaket 2)	226	

### Abkürzungs- und Symbolverzeichnis

### Abkürzungen

AAO All-At-Once Abs. Absolut(e)

AP Anforderungspaket

ASCO Automatic Submodel-generation for Crash Optimization
ASMOS Automated Surrogate Modeling for Vehicle Safety

ATC Analytical Target Cascading

BK BOX KEEP

BLISS Bi-Level Integrated System Synthesis

BS BOX SPLIT bzw. beziehungsweise

CAE Computer-Aided-Engineering

CMS Component Mode Synthesis and Substructuring

CO Collaborative Optimization
CORA Correlation and analysis
CPU Central Processing Unit

CS Cross Section

CSSO Concurrent Subspace Optimization

CVA ClearVu Analytics
CVSS ClearVu Solution Spaces

DIFF Differenz

DLR Deutschen Zentrum für Luft- und Raumfahrt

DOE Design of Experiments

ECO Enhanced Collaborative Optimization

EEARTH Enhanced error assessment of response time histories

ESLSO Equivalent Static Loads Method for Non Linear Static Response Structural

Optimization

EuroNCAP European New Car Assessment Programme

FE(M) Finite-Elemente(-Methode)

FMVSS Federal Motor Vehicle Safety Standard

FN Frontlastfall, Null Grad

GHT Graphen- und Heuristikbasierte Topologieoptimierung

GM FE-Gesamtmodell

GP Gaussian Process (Gauß-Prozess) HCA Hybrid Cellular Automata Method HLRS Höchstleistungsrechenzentrum Stuttgart

IDF Individual Discipline Feasible Method

ISO/TS International Organization of Standardization/ Technische Spezifikation

It Iteration

KB KOMPONENTEN-BASIERT

Korr Korrelation

KQR Kernel Quantile Regression LFB linearized flexible body

LM Linear Model (lineares Modell)

LOO Leave-One-Out

MAC modal assurance criterion

MAE mittlerer absoluter Fehler (mean absolute error)

MDF Multidisciplinary Feasible Method MDO Multidisziplinäre Optimierung

MuS Multi-System

MSE mittlerer quadratischer Fehler (mean squared error)

MOR Model Order Reduction

NN Neural Network (Neurales Netz)
NormMAE Normierter mittlerer absoluter Fehler

NVH Noise Vibration Harshness
Obj. Zielfunktion (Objective)
ODB Offset Deformable Barrier

OPT Optimierung

PB PERFORMANCE-BASIERT
PCA Principal Component Analysis
PEP Produktentstehungsprozess

POD Proper Orthogonal Decomposition

P90 Pfahl 90 Grad
QUAL. Quality
QUANT. Quantity

(R)OLC (Real) Occupant Load Criterion

SM FE-Submodell

SML Submodell-basierte Multi-Level Optimierung SRSM Sequential/Successive Response Surface Methode

SiS Single-System STF Steifigkeit

SVM Support Vector Machine (Stützvektormethode)

SVR Support Vector Regression

VIOL. Violation 10FC 10-fold-cross

### Symbole und Operatoren

(·)<sub>K</sub> Index zur Beschreibung von Größen ursprünglicher CAE-Freiheitsgrade (·)<sub>k</sub> Index zur Beschreibung von Größen reduzierter CAE-Freiheitsgrade

 $(\cdot)_i$  Internal-Nodes bezogene Größen

(·)<sub>b</sub> Boundary-Nodes bezogene Größen (·)<sub>cm</sub> Massenschwerpunkt bezogene Größen

(·)\* Werte im Optimum

 $\partial(\cdot)/\partial(\cdot)$  partielle Ableitung von  $(\cdot)$  nach  $(\cdot)$ 

 $\nabla_{(\cdot \cdot)}(\cdot)$  Ableitung von  $(\cdot)$  nach  $(\cdot \cdot)$ 

 $\Delta(\cdot)$  Differenz, Störung

(\*) Metamodell-, bzw. Approximationsmodell bezogene Größen

( ) Mittelwert

 $Th_{(\cdot)}$  Treshold (Schwellwert) von  $(\cdot)$ 

 $n_{(\cdot),It}$  Anzahl  $(\cdot)$  je Iteration des effizienten Optimierungsprozesses

### Optimierungsgrößen, Datensatzbezogene Größen

x Entwurfsvariablenvektor

X Entwurfsraum

 $n_r$  Anzahl Entwurfsvariablen

 $x^{l}, x^{u}$  Restriktionen (untere und obere Entwurfsvariablengrenzen)

f Vektor der Zielfunktionen  $n_f$  Anzahl Zielfunktionen

 $egin{array}{ll} egin{array}{ll} egin{array}{ll} egin{array}{ll} Vektor der Ungleichheitsnebenbedingungen \\ n_g & Anzahl Ungleichheitsnebenbedingungen \\ n_V & Anzahl verletzter Nebenbedingungen \\ egin{array}{ll} egin{array}{ll} egin{array}{ll} egin{array}{ll} Anzahl Gleichheitsnebenbedingungen \\ \end{array} \label{eq:controlled} \end{array}$ 

y Vektor der Entwurfskriterien  $n_y$  Anzahl der Entwurfskriterien L LAGRANGE-Funktion

 $\gamma, \eta, \alpha$  LAGRANGE-Multiplikatorenvektor  $\mu, \mu$  Schlupfvariablenvektor, Schlupfvariable/

 $Anzahl\ Individuen\ (Entwurfsvariablenkonfigurationen)\ je\ Generation/\ Population$ 

(Evolutionärer Algorithmus)

**P** Population/Generation, bestehend aus mehreren Individuen (Evolutionärer

Algorithmus)

F	Vektor der <i>Fitness</i> -Werte zur Bewertung der Individuen innerhalb einer Population
$\Phi_p$	$\Phi_p$ -Kriterium (Optimalitätskriterium, Anwendung im <i>Optimal Latin Hypercube</i> )
Н	absolute Häufigkeit
k	Anzahl nächster Nachbarn (Datenpunkte im Entwurfs- oder Lösungsraum) /
	Anzahl Partitionen für die Kreuzvalidierung
q	Iterationszähler
$n_A$	Anzahl Approximationsmodelltypen
$\tilde{y}(x)$	Approximationsfunktion
β	Vektor der Koeffizienten des Linearen Modells (LM)
Q	Fehlerquadratsumme
$m(\mathbf{x})$	Erwartungswertfunktion
$K(\boldsymbol{x}, \boldsymbol{x}')$	Kovarianzfunktion
$s^2$	Varianz
S	Standardabweichung
b, B	Bias
ε	Schwellwert für akzeptable Abweichung zwischen Metamodellprognose und FEM-Wert (Stützstelle im Modelltraining)
τ	τ-Quantil für die Kernel Quantile Regression
$n_o$	Anzahl Neuronen des Hidden Layers
W	Wichtungsfaktor
$\psi$	Aktivierungsfunktion
$\widetilde{U}_L$	Lokale Vorhersageunsicherheit, gemessen an jedem Punkt des Approximationsmodells
$n_S$	Anzahl Stützstellen (FEM) für Approximationsmodelltraining
$n_L$	verwendete Anzahl nächster im Entwurfsraum befindlicher Stützstellen (FEM) für Ermittlung von $\widetilde{U}_L$
$ ilde{P}_L$	Vorhersagefehler für Ermittlung von $\widetilde{U}_L$
$ ilde{V}_L$	Variabilität für Ermittlung von $\widetilde{U}_L$
$n_{ST}$	verwendete Anzahl Stichproben innerhalb einer Box für die Lösungsraumanalyse
$\widetilde{D}$	Sum-max-Dist-To-Valid-Wert als möglicher Fitness-Wert einer Box für die Lösungsraumanalyse
V	normiertes Volumen als möglicher <i>Fitness</i> -Wert einer Box für die Lösungsraumanalyse
S	Sobol-Index
$S_T$	totaler Sobol-Index
$n_D$	Anzahl Disziplinen
Y	Vektor der disziplinspezifischen Entwurfskriterien

 $n_0$  Anzahl Optimierungsergebnisse nach Beendigung des effizienten

Optimierungsprozesses

p verwendete Anzahl Stützstellen für die FE-Submodellvalidierung

### Geometriebeschreibung

 $l^E$  Elementkantenlänge d geometrische Distanz

**p** Normalenvektor einer Hyperebene

### Kinematik, Spannung, Reaktionen, äußere Belastung

c Schallgeschwindigkeit

Spannungstensor

**u** Verschiebungsvektor

*ū* Geschwindigkeitsvektor

**ü** Beschleunigungsvektor

 $\omega$  Vektor der Eigenfrequenzen

Φ Vektor der Eigenformen

 $n_{\Phi}$  Anzahl Eigenformen

r Lastenvektor Lastfaktor

**g** Ungleichheitskräfte

### Systemmatrizen, Material

**D** Dämpfungsmatrix

E E-Modul  $\rho$  Dichte

K Steifigkeitsmatrix

 $K_S$  Sekantensteifigkeitsmatrix  $K_T$  tangentiale Steifigkeitsmatrix

**M** Massenmatrix

**M**<sub>S</sub> skalierte Massenmatrix

**M**<sub>A</sub> künstlich hinzugefügte Massenmatrix

### Zeitliche Größen, inkrementelle Größen

t Zeit

 $\Delta t_{krit}$  kritische Zeitschrittweite

### Sonstiges

**T** Projektionsmatrix für Transformation der *K* in *k* CAE-Freiheitsgrade

I Einheitsmatrix